

УДК 534.16.535.3

© 1991

ФОТО- И ТЕРМОИНДУЦИРОВАННЫЕ АКУСТИЧЕСКИЕ ЭФФЕКТЫ В НИОБАТЕ ЛИТИЯ

Ю. В. Владимирцев, А. В. Голенищев-Кутузов, И. А. Хасанова

Методом высокодобротных акустических резонансов исследовалась серия монодоменных образцов LiNbO_3 . Было изучено влияние оптического облучения и режима термического отжига на упругие свойства кристаллов (скорость УЗ волн). Установлено, что изменение скорости УЗ волн пропорционально мощности оптического облучения. Временная картина нарастания фотоиндуцированных значений δV имеет экспоненциальный характер. Получены спектральные зависимости δV при 300 и 77 К.

Все эти данные сопоставлялись с результатами аналогичных экспериментов для фоторефрактивного эффекта (δn). Отмечено соответствие между ними. Сделан вывод об общности процессов, ответственных за фотоиндуцированные изменения как δn , так и δV . Предложена микроскопическая модель этих процессов в ниобате лития. В рамках этой модели дано объяснение полученных данных.

Развитие акустооптических методов модуляции и переключения оптических пучков, создание высокочастотных спектроанализаторов, плоских оптических волноводов и ультразвуковых линий задержки опирались в большинстве случаев на использование монокристаллов ниобата лития в качестве активного элемента [1]. Вследствие этого особенности генерации и распространения акустических волн в ниобате лития стали предметом интенсивных исследований уже с самого начала получения совершенных синтетических кристаллов в 60-е годы. Причем основное внимание было обращено на особенности распространения акустических волн при приложении к кристаллам электрического поля, на частотную и температурную зависимости акустических параметров. В частности, были обнаружены изменение скорости ультразвуковых волн в электрическом поле [2, 3], а также ряд аномалий температурной зависимости поглощения ультразвука, например зависимости поглощения от условий термического отжига [4]. Несколько позднее были обнаружены изменения скорости и поглощения акустических волн при облучении кристаллов ниобата лития лазерным пучком видимого диапазона [5-7]. Уже в работе [5] этот эффект интерпретировался на основе модели возникновения фотоиндуцированного электрического поля, приводящего вследствие электрострикции к изменению упругих параметров образца ниобата лития. Недавно подобным образом были объяснены аномалии в температурном ходе поглощения [8], которые, по мнению авторов, возникают за счет термоиндуцированных градиентов электрического поля. Однако в проведенных ранее исследованиях особенности термо- и фотоиндуцированного изменения акустических параметров были изучены неполно. Поэтому представляется важным подробное исследование акустических параметров в совокупности с оптическими в номинально чистых и легированных кристаллах ниобата лития в зависимости от оптического воздействия в широком спектральном диапазоне и от режима термического отжига. Поскольку примесные и дефектные центры становятся стабильными при температурах ниже 100 К [9], то необходимо было проведение исследований в диапазоне 77–300 К.

1. Методики исследований

Для исследования акустических параметров был выбран метод, использующий высокодобротные размерные акустические резонансы ($Q \sim 10^4$), которые возникают в образцах с плоскопараллельными торцами. Возбуждение продольных и поперечных акустических волн создавалось вблизи поверхности образца за счет собственного пьезоэффекта посредством концентрических или щелевых электродов, причем продольные волны генерировались перпендикулярной компонентой переменного электрического поля, а поперечные — параллельной поверхности образца компонентой E .

Генерация относительно тонких акустических пучков (~ 2 мм) позволила провести изучение акустических неоднородностей по сечению образца. Поскольку точность определения изменений скорости ($\Delta V/V \sim 10^{-5}$) выше, чем измерения затухания, и ее легче связать с электрическим полем, то наибольшее внимание было обращено на изучение вариаций скоростей.

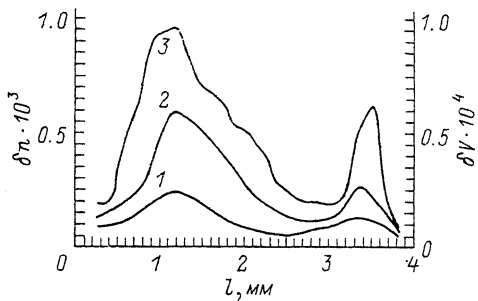
Оптическое воздействие на образцы создавалось в диапазоне 300—800 нм с использованием как когерентных, так и некогерентных оптических источников (твердотельные лазеры и ртутная лампа). Одновременно с акустическими измерениями проводилось изучение фотоиндуцированного изменения показателя преломления и остаточного светового потока (ОСП) при помещении образца между скрещенными николями.

Была исследована серия монодоменных образцов LiNbO_3 , содержащих примесные ионы железа с концентрациями от 10^{-6} до 10^{-2} ат. %. Как показали результаты ЭПР и оптической спектроскопии, большинство ионов железа первоначально находилось в трехвалентном состоянии. Образцы были обработаны с оптической точностью в виде прямоугольных параллелепипедов, причем поверхности их были параллельны кристаллографической оси [100]; [010] и [001] — оси поляризации.

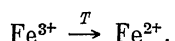
2. Результаты

Путем свиппирования акустическим пучком по сечениям образцов были изучены акустические неоднородности, проявлявшиеся в локальных изменениях скорости УЗ волн. Этим же изменениям в ряде случаев соответствовали изменения в средних значениях показателя преломления и ОСП (рис. 1). При отжиге образцов в окислительном режиме отмеченные

Рис. 1. Пространственное распределение по сечению образца: δV до (1) и после (2) оптического облучения, δn после оптического облучения (3).



выше изменения частично сглаживались и кристаллы становились акустически и оптически более однородными. Одновременно при таком отжиге более 90 % ионов железа переходило в трехвалентное состояние. Наоборот, отжиг в восстановительном режиме приводил к еще большим акустическим и оптическим неоднородностям, а также к валентному переходу



При этом акустическая скорость сохранялась почти постоянной в тех областях, где она не отличается от средних значений, а наблюдавшиеся в первоначальном состоянии отклонения акустических параметров от средних значений возрастили.

При оптическом облучении образцов ниобата лития также возникали изменения акустических параметров, причем они наблюдались только в образцах, которые подверглись отжигу в восстановительном режиме.

Фотоиндуцированные изменения скорости ($\delta V = \Delta V/V$) возникали при распространении акустических волн как вдоль полярной оси [001], так и перпендикулярно к ней, вдоль [100] и [010]. Причем пространственное распределение

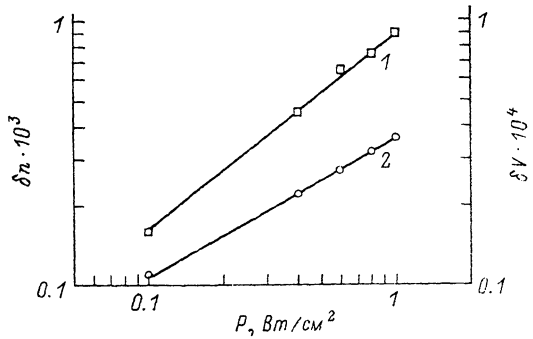


Рис. 2. Зависимости от мощности оптического облучения для δn (1) и δV (2).

фотоиндуцированных значений δV соответствует рельефу величин δV_0 образцов в первоначальном состоянии (рис. 1). Изменение скорости пропорционально мощности оптического излучения (рис. 2). Временная картина нарастания фотоиндуцированных значений δV

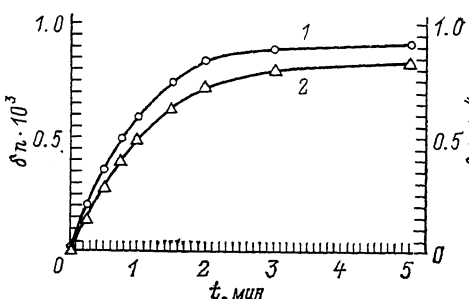


Рис. 3. Зависимости от длительности оптического облучения для δn (1) и δV (2).

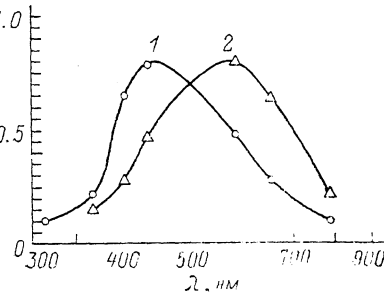


Рис. 4. Спектральные зависимости δV при 300 (1) и 77 К (2).

(рис. 3) имеет экспоненциальный характер и совпадает с аналогичным процессом возникновения δn . Акустические фотоиндуцированные эффекты наблюдались в спектральном диапазоне оптического облучения 320—730 нм, причем спектральное распределение значений δV различно для 77 и 300 К (рис. 4).

3. Обсуждение

Из проведенных экспериментов следует, что поведение акустических параметров при термическом и оптическом воздействии качественно совпадает с фото- и термоиндуцированным изменением показателя преломления и ОСП. Также обнаруживается согласие между зависимостью значений δV и δn от интенсивности оптического облучения. Отсюда вытекает вывод о том, что термо- и фотоиндуцированные акустические эффекты связаны с возникновением внутреннего электрического поля при оптическом облучении. Можно оценить значение E_i из одновременных измерений δn и δV . При фоторефрактивном эффекте

$$E_i = \delta n / n_0^3 r_{ij},$$

где n_0 — показатель преломления, r_{ij} — соответствующий электрооптический коэффициент. С другой стороны,

$$E_i = \delta V \epsilon_{ij} C_{ij} / q,$$

где ϵ_{ij} — диэлектрическая проницаемость зажатого кристалла, C_{ij} — упругая постоянная, q — электроакустическая постоянная. При известных постоянных для ниобата лития [10, 11] значения E_i в зависимости от интенсивности светового пучка, определенные двумя способами, вполне сопоставимы.

Таким образом, становится несомненным возникновение акустических фотоиндуцированных эффектов за счет фотовозбуждения электронов и перемещения их вдоль оси поляризации. Однако требуют обсуждения проблема идентификации дефектов, действующих как зарядовые доноры, акцепторы и ловушки, и проблема динамики зарядового транспорта.

Как следует из многочисленных экспериментальных и теоретических работ, возникновение фотоиндуцированного электрического поля, по-видимому, невозможно описать с помощью одного механизма. Процессы возникновения E_i связаны со структурой примесных и дефектных центров, и, следовательно, со спектральным составом оптического излучения. Поскольку структура таких центров в основном определяется условиями термического отжига, то сначала рассмотрим образование центров при восстановительном отжиге применительно к исследованным нами образцам.

При относительно низком температурном отжиге ($T_{\text{отж}} \leq 500^{\circ}\text{C}$) в вакууме в образцах, содержащих ионы железа, большинство ионов Fe^{3+} переходит в состояние Fe^{2+} , а также образует структурные комплексы ($\text{Fe}^{2+} - V_0$) и ($V_{\text{Li}} - O^-$), где V_0 — кислородные вакансии с различным содержанием электронов, V_{Li} — литиевые вакансии, O^- — дырочные центры. Повышение температуры отжига до 700°C приводит только к увеличению числа кислородных вакансий.

Возникновение фотовозбужденных носителей тока наиболее удобно рассмотреть при 77 K , когда большинство центров стабильно. Согласно результатам работы [8], воздействие оптического облучения начинает сказываться только при длинах волн $\lambda_{\text{обл}} > 350\text{ nm}$, когда световой пучок попадает в полосу ионизации F-центров (кислородные вакансии с одним электроном), и достигает максимума при 490 nm . При этом образуются F^+ -центры и свободные электроны, часть из которых в дальнейшем захватывается пустыми ловушками V_0 , а другая — локализуется на ионах Nb^{5+} .

При уменьшении $\lambda_{\text{обл}}$ до 550 nm возникает фотоиндуцированный межионный переход $\text{Fe}^{2+} \rightarrow \text{Fe}^{3+}$, сопровождающийся генерацией электронов; этот процесс достигает максимума при $\lambda_{\text{обл}} \sim 370\text{ nm}$.

Таким образом, возникновение фотоиндуцированного поля при 77 K можно связать с двумя причинами — фотоионизацией F-центров и ионизацией ионов Fe^{2+} . Первый процесс доминирует в образцах с малой концентрацией ионов железа ($c \leq 10^{-4}$ ат. %), а второй — в легированных образцах. Поэтому понятно, что при 77 K максимум в фотоиндуцированных акустических эффектах для слаболегированных образцов расположен вблизи 540 nm .

Поскольку при комнатной температуре F, F^+ и другие структурные центры нестабильны и практически единственным источником свободных носителей являются ионы Fe^{2+} , то максимум фотоиндуцированных эффектов смещается в область 450 nm .

Список литературы

- [1] Хансперджер Р. Интегральная оптика. М.: Мир, 1985. 379 с.
- [2] Петраков В. С., Сорокин И. Г., Чижиков С. И., Шаскольская М. П., Блистанов А. А. // Изв. АН СССР, сер. физ. 1975. Т. 39. № 4. С. 974—977.
- [3] Агишев Б. А., Леманов В. В., Юшин Н. К. // ФТТ. 1978. Т. 20. № 10. С. 2819—2821.
- [4] Леманов В. В. // ФТТ. 1969. Т. 11.. № 3. С. 653—657.
- [5] Владимирцев Ю. В., Голенищев-Кутузов А. В. // ФТТ. 1980. Т. 22. № 1. С. 217—218.
- [6] Le — Jie. Dransfeld K. // Zeitsh. fur Physik. Condensed Matter. 1987. V. B68. P. 169—178.

- [7] Здебский А. П., Дерюгина Н. И., Гарагдыев Г., Корради Г., Полгар К. // Письма в ЖТФ. 1988. Т. 14. № 23. С. 2171—2174.
- [8] Ахмадуллин И. Ш., Голенищев-Кутузов В. А., Миронов С. П., Мигачев С. А. // ФТТ. 1990. Т. 32. № 6. С. 1854—1859.
- [9] Ketchum Y., Sweeney K., Halliburton L. // Phys. Lett. 1983. V. 94A. N 3. P. 450—456.
- [10] Голенищев-Кутузов В. А., Миронов С. П., Мигачев С. А. // ФТТ. 1987. Т. 62. № 6. С. 716—718.
- [11] Акустические кристаллы. Под ред. М. П. Шаскольской М.: Наука, 1982. 631 с.

Казанский физико-технический институт
РАН

Поступило в Редакцию
21 июня 1991 г.
